

ΕΘΝΙΚΟ ΜΕΤΣΟΒΙΟ ΠΟΛΥΤΕΧΝΕΙΟ
Σχολή Ηλεκτρολόγων Μηχανικών και Μηχανικών Υπολογιστών

Ονοματεπώνυμο: Γκούμε Λαουρεντιάν

A.M.: 031 18 014

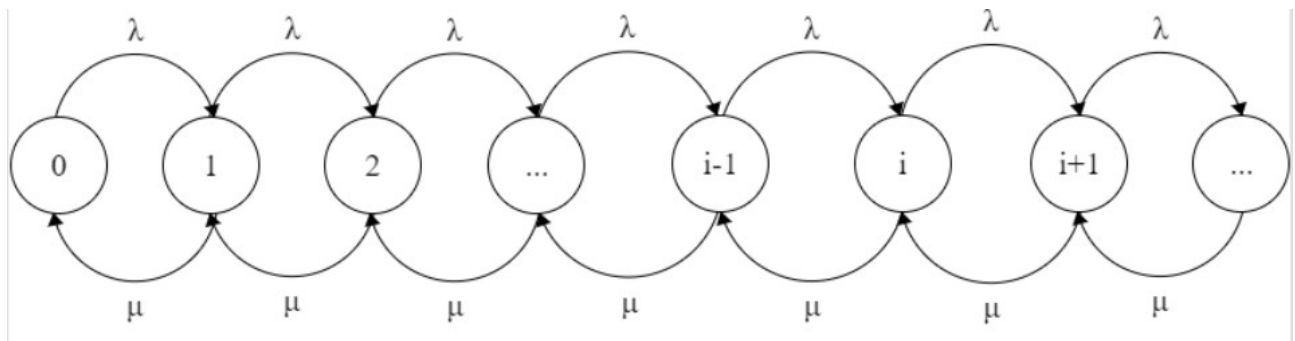
Έτος/Εξάμηνο: 3ο/6ο

ΣΥΣΤΗΜΑΤΑ ΑΝΑΜΟΝΗΣ (Queuing Systems)

2η Σειρά Ασκήσεων

Θεωρητική μελέτη της ουράς M/M/1

(α) Προκειμένου μια ουρά M/M/1 να είναι **εργοδική**, θα πρέπει η ένταση φορτίου $\rho = (\lambda/\mu)$ να είναι μικρότερη από 1 Erlang, δηλαδή $\rho < 1 \Rightarrow \lambda < \mu$, όπου λ ο ρυθμός άφιξης πελατών και μ ο ρυθμός εξυπηρέτησης. Για το διάγραμμα ρυθμού μεταβάσεων που παρουσιάζεται παρακάτω, οι ρυθμοί άφιξης/εξυπηρέτησης έχουν θεωρηθεί ανεξάρτητοι της παρούσας κατάστασης του συστήματος και ίσοι με λ/μ αντίστοιχα.



Εικόνα 1: Διάγραμμα ρυθμού μεταβάσεων ουράς M/M/1

Με χρήση των Εξισώσεων Λεπτομερούς Ισορροπίας (Detailed Balance Equations), υπολογίζουμε τις ζητούμενες εργοδικές πιθανότητες των καταστάσεων του συστήματος:

- $\lambda P_0 = \mu P_1 \Rightarrow P_1 = (\lambda/\mu)P_0$
- $\lambda P_1 = \mu P_2 \Rightarrow P_2 = (\lambda/\mu)P_1 \Rightarrow P_2 = (\lambda/\mu)^2 P_0$
- Επαγωγικά: $\lambda P_{i-1} = \mu P_i \Rightarrow P_i = (\lambda/\mu)P_{i-1} \Rightarrow P_i = (\lambda/\mu)^i P_0$

Κανονικοποιώντας τις εργοδικές πιθανότητες, έχουμε: $P_0 + P_1 + P_2 + \dots = 1 \Rightarrow$

$$P_0 (1 + \rho + \rho^2 + \dots) = 1 \Rightarrow P_0 \frac{1}{1-\rho} = 1 \Rightarrow P_0 = (1 - \rho).$$

Για το παραπάνω αποτέλεσμα χρησιμοποιήθηκε η σχέση $\rho = (\lambda/\mu)$ και η γεωμετρική σειρά. Συνεπώς, παίρνουμε τελικά: $P_i = \rho^i(1 - \rho)$, για κάθε ακέραιο $i \geq 0$.

(β) Για τον μέσο χρόνο καθυστέρησης $E[T]$, έχουμε από τον τύπο του Little ότι:

$$E[T] = \frac{E[n(t)]}{\gamma}, \text{ ωστόσο για το σύστημα } M/M/1, \text{ έχουμε άπειρη ουρά οπότε}$$

$$P[\text{blocking}] = 0, \text{ ή ισοδύναμα } \gamma = \lambda, \text{ άρα } E[T] = \frac{(\frac{\rho}{1-\rho})}{\lambda} = \frac{\rho}{\lambda(1-\rho)}.$$

(γ) Από τις εργοδικές πιθανότητες του (α) ερωτήματος, για $i = 57$, έχουμε:

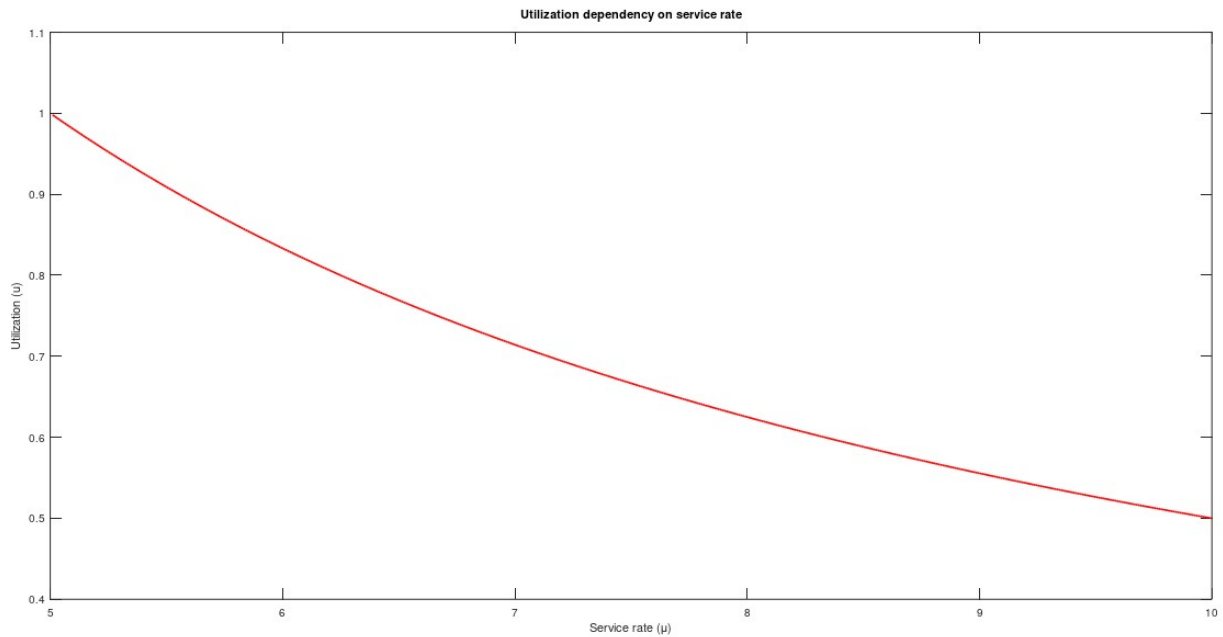
$P_{57} = \rho^{57}(1-\rho) > 0$. Επομένως, **υπάρχει πιθανότητα κάποια χρονική στιγμή το σύστημα να βρεθεί με 57 πελάτες**. Παρατηρούμε πως όσο μικρότερο γίνεται το ρ , τόσο μικρότερη γίνεται η πιθανότητα ($\frac{dP(\rho)}{d\rho} = \rho^{56}(57-58\rho) \Rightarrow P(\rho)$ γνησίως αύξουσα όσο $\rho < (57/58)$). Αυτό είναι αναμενόμενο, καθώς μείωση του ρ σημαίνει είτε μείωση του ρυθμού αφίξεων λ με σταθερό μ , είτε αύξηση του ρυθμού εξυπηρέτησης μ με σταθερό λ , είτε ταυτόχρονη μείωση του ρυθμού αφίξεων και αύξηση του ρυθμού εξυπηρέτησεων.

Ανάλυση ουράς M/M/1 με Octave

(α) Όπως είδαμε, εργοδικό σύστημα σημαίνει $\rho < 1 \Rightarrow \lambda < \mu$, άρα το μ πρέπει να πάρει τιμές στο διάστημα **(5, 10] πελάτες/sec**.

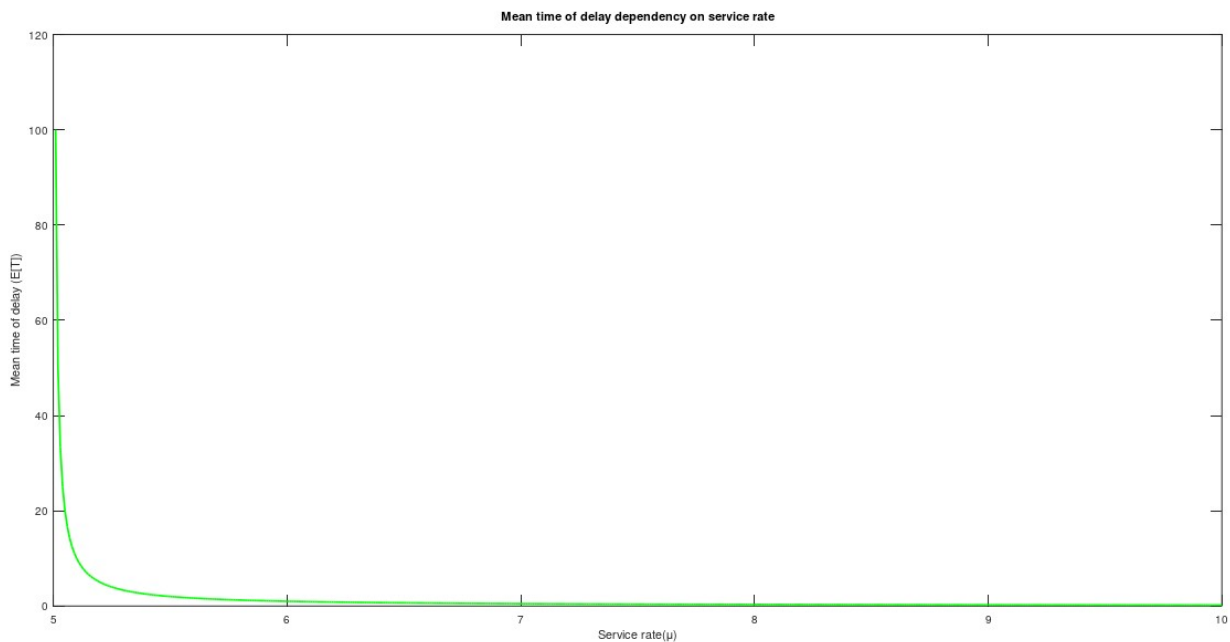
(β)

- **Βαθμός χρησιμοποίησης (u) ως προς τον ρυθμό εξυπηρέτησης (μ):** Είναι $u = (\gamma/\mu)$, ωστόσο για το σύστημα M/M/1, έχω άπειρη ουρά, επομένως $P[\text{blocking}] = 0$, οπότε και $\gamma = \lambda$, άρα ο βαθμός χρησιμοποίησης είναι ίσος με την ένταση του φορτίου $\rho = (\lambda/\mu)$. Όπως βλέπουμε παρακάτω, η γραφική ξεκινάει από το 1 για $\lambda \approx \mu$ και συγκλίνει στο 0.5 για $\mu = 10$, επαληθεύοντας όσα είπαμε.



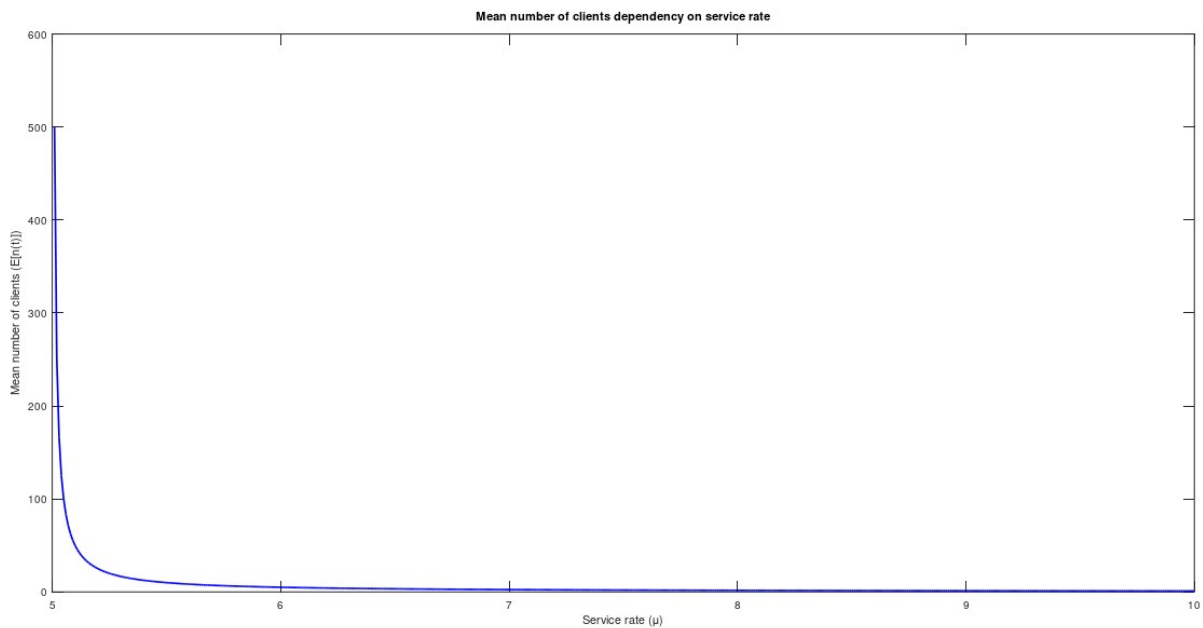
Εικόνα 2: Βαθμός χρησιμοποίησης συναρτήσει του ρυθμού εξυπηρέτησης

- Μέσος χρόνος καθυστέρησης του συστήματος (E[T]) ως προς τον ρυθμό εξυπηρέτησης (μ):** Είναι $E[T] = \frac{1}{\mu(1-\rho)} = \frac{1}{\mu(1-(\lambda/\mu))} = \frac{1}{\mu-\lambda}$ και αφού $\mu > \lambda$, αναμένουμε όταν το μ τείνει στο 5 μεγάλες τιμές του E[T], ενώ όταν τείνει στο $\mu = 10 = 2\lambda$ αναμένεται να γίνει ίση με $(1/\lambda) = (1/5)$ seconds. Επαληθεύουμε γραφικά:



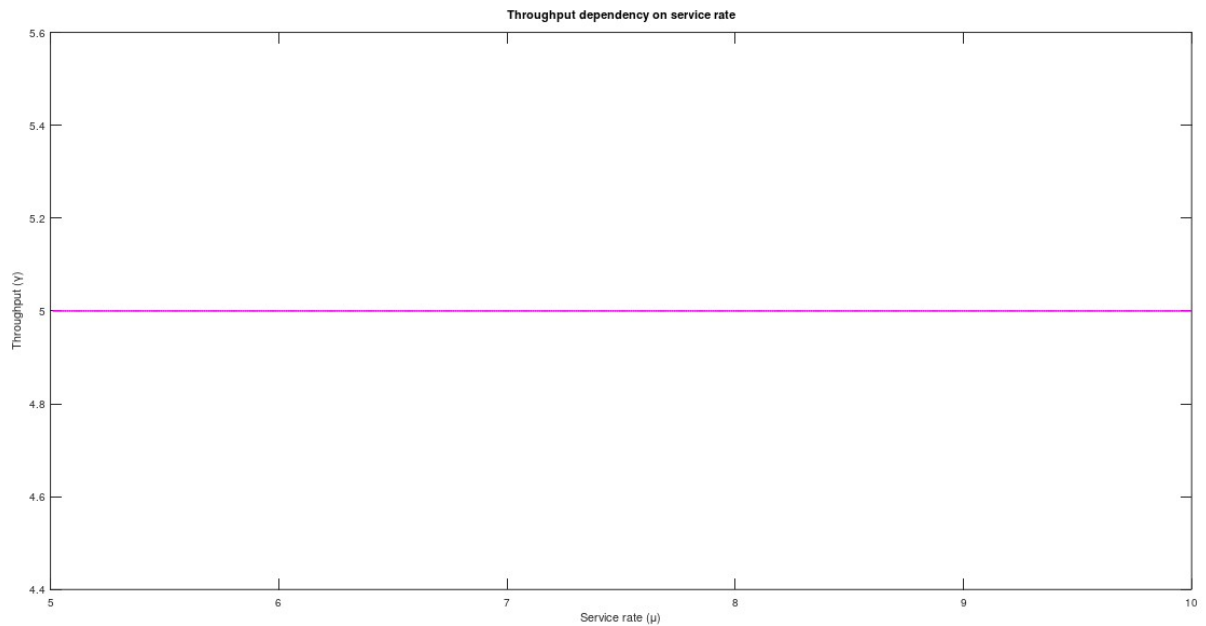
Εικόνα 3: Μέσος χρόνος καθυστέρησης του συστήματος συναρτήσει του ρυθμού εξυπηρέτησης

- Μέσος αριθμός πελατών στο σύστημα ($E[n(t)]$) ως προς τον ρυθμό εξυπηρέτησης (μ):** Είναι $E[n(t)] = \frac{\rho}{1-\rho} = \frac{(\lambda/\mu)}{(1-(\lambda/\mu))} = \frac{\lambda}{\mu-\lambda}$. Αναμένουμε ίδια μορφή με του μέσου χρόνου καθυστέρησης συναρτήσει του (μ) που είδαμε προηγουμένως:



Εικόνα 4: Μέσος αριθμός πελατών συναρτήσει του ρυθμού εξυπηρέτησης

- Ρυθμαπόδοση (γ) πελατών ως προς τον ρυθμό εξυπηρέτησης (μ):** Είναι $\gamma = \lambda(1-P[\text{blocking}])$, αλλά για το σύστημα M/M/1 είπαμε πως $P[\text{blocking}] = 0$, άρα $\gamma = \lambda$, ανεξάρτητο του μ . Επαληθεύουμε μέσω της προσομοίωσης:



Εικόνα 5: Ρυθμαπόδοση συναρτήσεϊ του ρυθμού εξυπηρέτησης

Ο κώδικας που υλοποιεί τις ανωτέρω γραφικές παραστάσεις:

```

1  #Task2_2
2  clc;
3  clear all;
4  close all;
5
6  mu = 5.01 : 0.01 : 10;
7  lambda_rate = 5;
8
9  for i = 1 : columns(mu)
10     lambda(i) = lambda_rate;           #if args of qsmml = 2, vectors are needed
11  endfor
12
13  color = "rgbm";
14  figure(1);
15  [U, R, Q, X] = qsmml(lambda, mu);
16
17  figure(1);
18  plot(mu, U, color(1), "linewidth", 1.2);
19  title("Utilization dependency on service rate");
20  xlabel("Service rate (μ)");
21  ylabel("Utilization (u)");
22
23  figure(2);
24  plot(mu, R, color(2), "linewidth", 1.2);
25  title("Mean time of delay dependency on service rate");
26  xlabel("Service rate(μ)");
27  ylabel("Mean time of delay (E[T])");

```

```

29 figure(3);
30 plot(mu, Q, color(3), "linewidth", 1.2);
31 title("Mean number of clients dependency on service rate");
32 xlabel("Service rate ( $\mu$ )");
33 ylabel("Mean number of clients ( $E[n(t)]$ )");
34
35 figure(4);
36 plot(mu, X, color(4), "linewidth", 1.2);
37 title("Throughput dependency on service rate");
38 xlabel("Service rate ( $\mu$ )");
39 ylabel("Throughput ( $\gamma$ )");

```

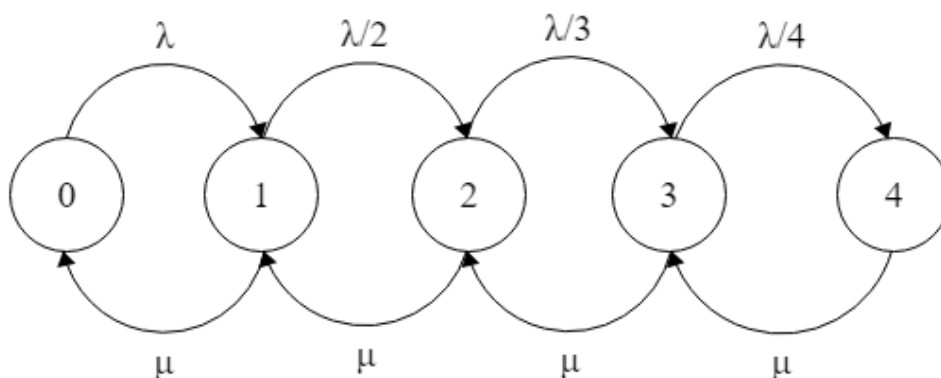
Εικόνα 6: Κώδικας σε Octave

(γ) Θα επιλέξουμε τον μέσο ρυθμό εξυπηρέτησης βασιζόμενοι στα παραπάνω γραφήματα. Για αρχή, η ρυθμαπόδοση είναι ανεξάρτητη του μ , οπότε δε μας απασχολεί εδώ. Επιθυμούμε να ελαχιστοποιήσουμε τον μέσο χρόνο καθυστέρησης των πελατών μας, διατηρώντας μια όσο το δυνατόν μεγαλύτερη τιμή για το utilization μας (μέχρι το 1 προφανώς). Εύκολα συμπεραίνουμε πως μια καλή επιλογή που πληροί τα κριτήρια αυτά, είναι να έχουμε ρυθμό εξυπηρέτησης πελατών ίσο με $\mu = 6$ πελάτες/sec, καθώς από εκεί και πέρα όσο αυξάνεται προκαλεί πρακτικά αμελητέα μείωση στην καθυστέρηση, αλλά σημαντική μείωση του utilization.

(δ) Όπως είδαμε, η ρυθμαπόδοση είναι ανεξάρτητη του ρυθμού εξυπηρέτησης για ουρές M/M/1.

Διαδικασία γεννήσεων θανάτων (birth-death process): εφαρμογή σε σύστημα M/M/1/K

(α) Το διάγραμμα ρυθμού μεταβάσεων για το σύστημα αναμονής M/M/1/4 με $\lambda_i = \lambda/(i+1)$ και $\mu_i = \mu$ για $i = 0, 1, 2, 3$ δίδεται παρακάτω:



Εικόνα 7: Διάγραμμα ρυθμού μεταβάσεων ουράς M/M/1/4

Κάνοντας χρήση των Detailed Balance Equations, παίρνουμε:

- $\lambda P_0 = \mu P_1 \Rightarrow P_1 = (\lambda/\mu)P_0$
- $(\lambda/2)P_1 = \mu P_2 \Rightarrow P_2 = \frac{1}{2} (\lambda/\mu)P_1 \Rightarrow P_2 = \frac{1}{2!} (\lambda/\mu)^2 P_0$
- $(\lambda/3)P_2 = \mu P_3 \Rightarrow P_3 = \frac{1}{3} (\lambda/\mu)P_2 \Rightarrow P_3 = \frac{1}{3!} (\lambda/\mu)^3 P_0$
- $(\lambda/4)P_3 = \mu P_4 \Rightarrow P_4 = \frac{1}{4} (\lambda/\mu)P_3 \Rightarrow P_4 = \frac{1}{4!} (\lambda/\mu)^4 P_0$

Για τον υπολογισμό του P_0 , κανονικοποιούμε ως εξής: $P_0 + P_1 + P_2 + P_3 + P_4 = 1 \Rightarrow$
 $P_0 [1 + (\lambda/\mu) + \frac{1}{2!} (\lambda/\mu)^2 + \frac{1}{3!} (\lambda/\mu)^3 + \frac{1}{4!} (\lambda/\mu)^4] = 1 \Rightarrow P_0 [1 + \frac{1}{2} + \frac{1}{2!}$
 $\frac{1}{4} + \frac{1}{3!} \frac{1}{8} + \frac{1}{4!} \frac{1}{16}] = 1 \Rightarrow P_0 (211/128) = 1 \Rightarrow P_0 = (128/211) \Rightarrow P_0 \approx$

0.6066 ή $P_0 \approx 60.66\%$. Με τη σειρά, βρίσκουμε τις υπόλοιπες πιθανότητες: $P_1 \approx 30.33\%$, $P_2 \approx 7.58\%$, $P_3 \approx 1.26\%$, $P_4 \approx 0.16\%$. Η πιθανότητα απώλειας $P[\text{blocking}]$, είναι η εργοδική πιθανότητα $P_4 \approx 0.16\%$, καθώς αν το σύστημα βρίσκεται στην κατάσταση 4 ο επόμενος πελάτης θα απορριφθεί, διότι σε διαφορετική περίπτωση θα είχαμε 5 πελάτες στο σύστημα, πράγμα που υπερβαίνει τη χωρητικότητα του.

(β)

i) Η μήτρα του ρυθμού μεταβάσεων είναι η εξής:

```
Transition matrix of our M/M/1/4 system:
transition_matrix =

    -5.0000    5.0000         0         0         0
    10.0000   -12.5000    2.5000         0         0
         0    10.0000   -11.6667    1.6667         0
         0         0    10.0000   -11.2500    1.2500
         0         0         0    10.0000   -10.0000
```

Εικόνα 8: Μήτρα ρυθμού μεταβάσεων

ii) Οι **εργοδικές πιθανότητες** που υπολογίζονται μέσω της προσομοίωσης, επαληθεύουν τις θεωρητικά υπολογιζόμενες όπως και φαίνεται παρακάτω:

```
System's ergodic probabilities:
P_percentage =

    60.6635    30.3318    7.5829    1.2638    0.1580
```

Εικόνα 9: Εργοδικές πιθανότητες

iii) Ο **μέσος αριθμός πελατών** που βρίσκεται στο σύστημα, όταν εκείνο βρίσκεται σε κατάσταση ισορροπίας υπολογίζεται μέσω του ορισμού, και προκύπτει ίσος με:

Mean number of clients in our system is: $E[n(t)] = 1.49921$ clients

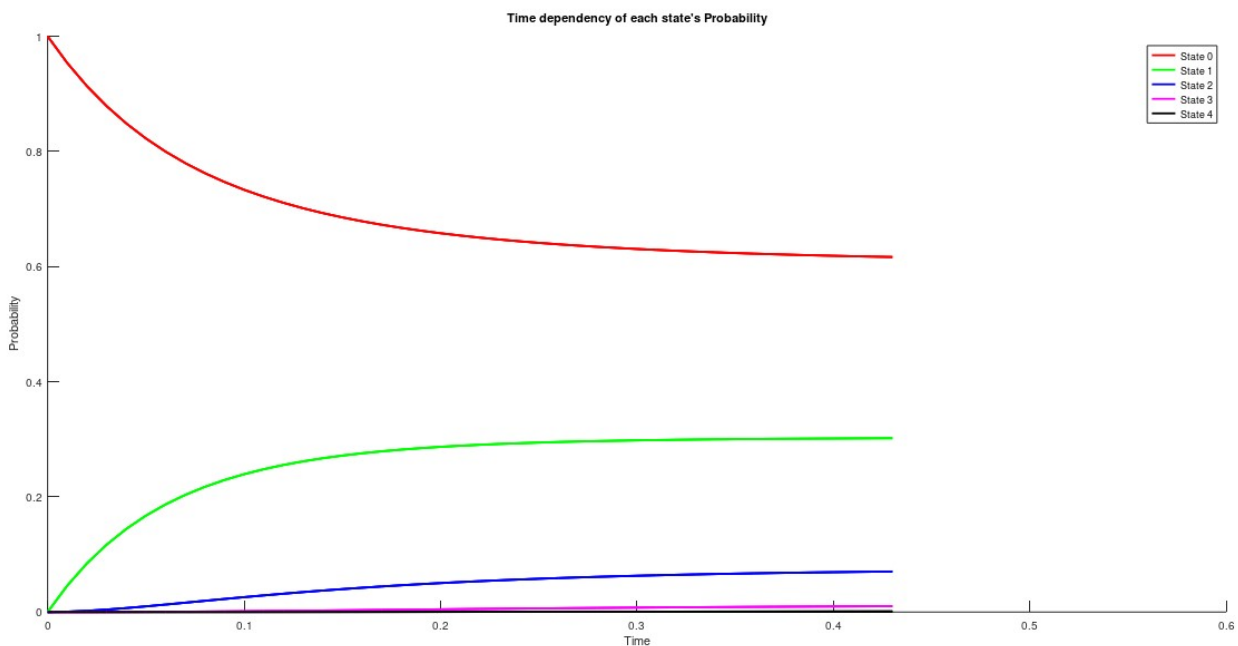
Εικόνα 10: Μέσος αριθμός πελατών στο σύστημα

iv) Η **πιθανότητα απόρριψης πελάτη**, όταν το σύστημα βρίσκεται σε ισορροπία προκύπτει ίση με αυτή που θεωρητικά υπολογίσαμε:

The possibility of declining a client is: $P_4 = 0.157978$ %

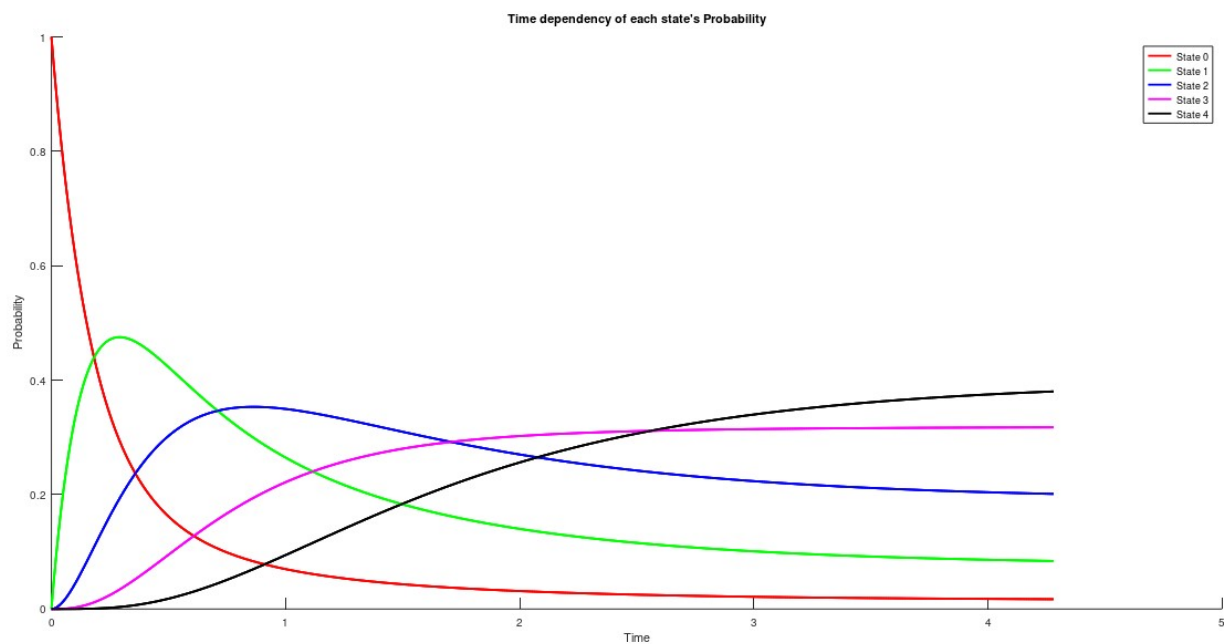
Εικόνα 11: Πιθανότητα απόρριψης πελάτη

v) Για $\lambda = 5$ πελάτες/sec και $\mu = 10$ πελάτες/sec, τα **διαγράμματα πιθανοτήτων των καταστάσεων του συστήματος συναρτήσει του χρόνου** έχουν ως εξής:

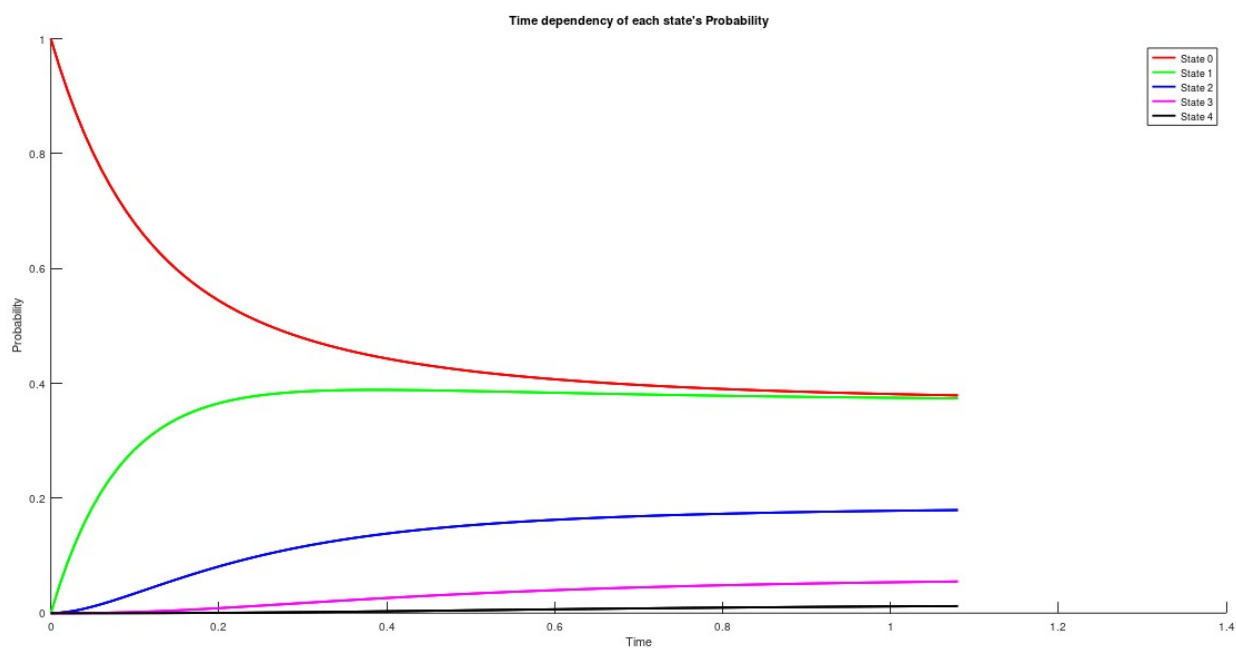


Εικόνα 12: Διάγραμμα πιθανοτήτων καταστάσεων του συστήματος ($\lambda = 5$, $\mu = 10$)

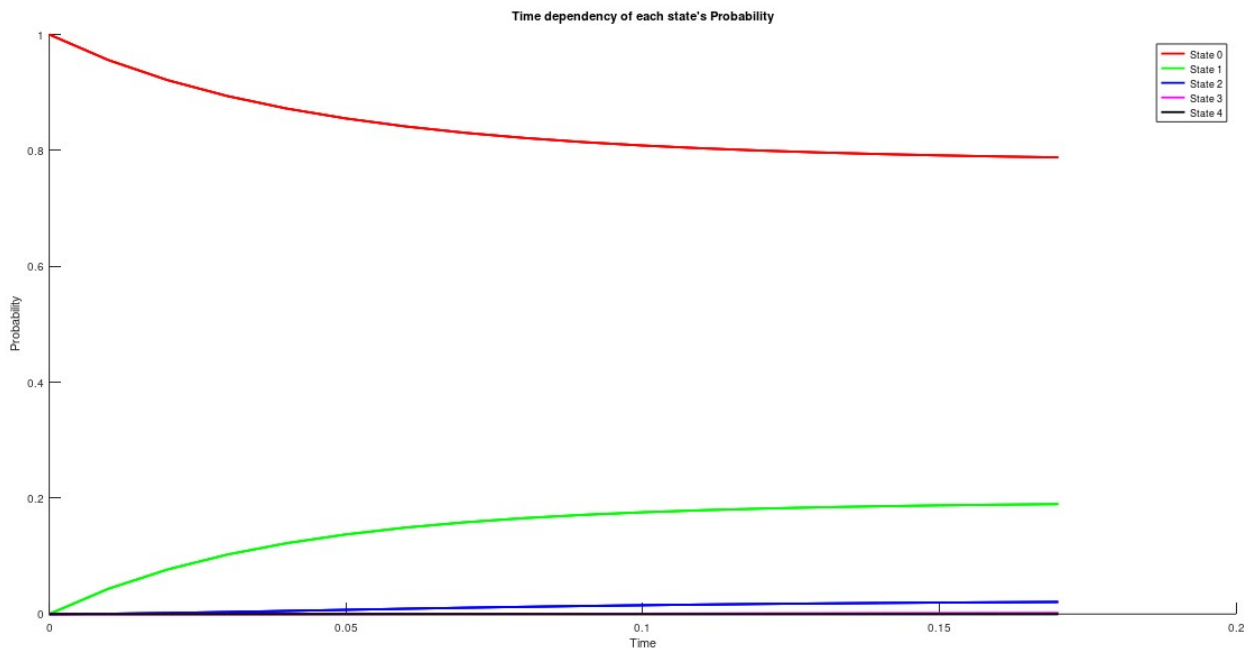
vi) Επαναλαμβάνοντας το παραπάνω ερώτημα για διαφορετικές τιμές του ρυθμού εξυπηρέτησης μ , λαμβάνουμε τα παρακάτω αποτελέσματα:



Εικόνα 13: Διάγραμμα πιθανοτήτων καταστάσεων του συστήματος ($\lambda = 5, \mu = 1$)



Εικόνα 14: Διάγραμμα πιθανοτήτων καταστάσεων του συστήματος ($\lambda = 5, \mu = 5$)



Εικόνα 15: Διάγραμμα πιθανοτήτων καταστάσεων του συστήματος ($\lambda = 5, \mu = 20$)

Ποιοτικά, παρατηρούμε πως όσο μικρότερο είναι το μ από το λ , τόσο ελαττώνονται οι πιθανότητες μικρότερων καταστάσεων, ενώ αυξάνονται εκείνες μεγαλύτερων καταστάσεων (όπου μικρότερη κατάσταση η 0, μεγαλύτερη η 4). Αντιστρόφως, για μ μεγαλύτερα του λ , όσο αυξάνεται η διαφορά, η μικρότερη κατάσταση έχει πολύ μεγάλη εργοδική πιθανότητα, ενώ οι πιθανότητες των υπολοίπων καταστάσεων παρουσιάζονται αρκετά μικρότερες. Όταν το $\mu = \lambda$, οι πιθανότητες των καταστάσεων 0 και 1 φαίνεται να συγκλίνουν στην ίδια τιμή. Όσον αφορά τον **χρόνο σύγκλισης**, είναι προφανές πως όσο μεγαλώνει το μ , τόσο μειώνεται εκείνος.

Ο κώδικας που υλοποιεί τα ζητήματα του (β) ερωτήματος: (δίνεται για $\mu = 10$, για την υλοποίηση του νί ερωτήματος προσαρμόζουμε το μ (mu) ανάλογα):

```

1  #Task2_3
2  pkg install -forge queueing
3  pkg load queueing
4
5  clc;
6  clear all;
7  close all;
8
9  lambda = 5;
10 mu = 10;      #changing mu, gives us results for vi
11 states = [0, 1, 2, 3, 4]; % system with capacity 4 states
12 % the initial state of the system. The system is initially empty.
13 initial_state = [1, 0, 0, 0, 0];
14
15 % define the birth and death rates between the states of the system.
16 births_B = [lambda, lambda/2, lambda/3, lambda/4];
17 deaths_D = [mu, mu, mu, mu];
18
19 #Task2_3_i
20 % get the transition matrix of the birth-death process
21 transition_matrix = ctmc_bd(births_B, deaths_D);
22 printf("Transition matrix of our M/M/1/4 system: \n");
23 transition_matrix
24
25 #Task2_3_ii
26 % get the ergodic probabilities of the system
27 P = ctmc(transition_matrix);
28 printf("System's ergodic probabilities: \n");
29 P_percentage = 100 * P

```

```

31 #Task2_3_iii
32 E_n = 0;
33 for i = 1 : columns(states)
34     E_n = E_n + (i * P(i));
35 endfor
36 printf("Mean number of clients in our system is: E[n(t)] = %d clients\n", E_n);
37
38 #Task2_3_iv
39 P_blocking = 100 * P(columns(P));
40 printf("The possibility of declining a client is: P_4 = %f %% \n", P_blocking);
41
42 #Task2_3_v
43 #transient probability of states until convergence to ergodic probabilities
44 #Convergence takes place when P0 and P differ by 0.01
45 index = 0;
46 for T = 0 : 0.01 : 50
47     index = index + 1;
48     P0 = ctmc(transition_matrix, T, initial_state);
49     Prob0(index) = P0(1);           #state 0
50     Prob1(index) = P0(2);           #state 1
51     Prob2(index) = P0(3);           #state 2
52     Prob3(index) = P0(4);           #state 3
53     Prob4(index) = P0(5);           #state 4
54     if (P0 - P < 0.01)
55         break;
56     endif
57 endfor
58 T = 0 : 0.01 : T;
59 figure(1);
60 colors = "rgbmk";
61 hold on
62 title("Time dependency of each state's Probability")
63 plot(T, Prob0, colors(1), "linewidth", 1.3);
64 plot(T, Prob1, colors(2), "linewidth", 1.3);

```

```

65 plot(T, Prob2, colors(3), "linewidth", 1.3);
66 plot(T, Prob3, colors(4), "linewidth", 1.3);
67 plot(T, Prob4, colors(5), "linewidth", 1.3);
68 xlabel("Time");
69 ylabel("Probability");
70 legend("State 0", "State 1", "State 2", "State 3", "State 4");
71 hold off
72
73 #Task2_3_v_i
74 mu = 1;
75 index = 0;
76 for T = 0 : 0.01 : 50
77     index = index + 1;
78     P0 = ctmc(transition_matrix, T, initial_state);
79     Prob0(index) = P0(1);           #state 0
80     Prob1(index) = P0(2);           #state 1
81     Prob2(index) = P0(3);           #state 2
82     Prob3(index) = P0(4);           #state 3
83     Prob4(index) = P0(5);           #state 4
84     if (P0 - P < 0.01)
85         break;
86     endif
87 endfor
88 T = 0 : 0.01 : T;
89 figure(1);
90 colors = "rgbmk";
91 hold on

```

```

91 hold on
92 title("Time dependency of each state's Probability")
93 plot(T, Prob0, colors(1), "linewidth", 1.3);
94 plot(T, Prob1, colors(2), "linewidth", 1.3);
95 plot(T, Prob2, colors(3), "linewidth", 1.3);
96 plot(T, Prob3, colors(4), "linewidth", 1.3);
97 plot(T, Prob4, colors(5), "linewidth", 1.3);
98 xlabel("Time");
99 ylabel("Probability");
100 legend("State 0", "State 1", "State 2", "State 3", "State 4");
101 hold off

```

Εικόνα 16: Κώδικας για τα ζητήματα του (β) ερωτήματος